

# مقایسه منحنی‌های ساختمان‌های قاب خمشی فولادی متوسط براساس نسخه ۳ و ۴ آین نامه زلزله ایران

مجید محمدی<sup>۱\*</sup>، فرناز علیزاد<sup>۲</sup>

- ۱- دانشیار، پژوهشکده مهندسی سازه، پژوهشگاه بین المللی زلزله شناسی و مهندسی زلزله، تهران، ایران  
۲- کارشناس ارشد گروه عمران، دانشگاه آزاد اسلامی، واحد غرب، تهران، ایران

m.mohammadigh@iiees.ac.ir

تاریخ پذیرش ۱۴۰۰/۱۲/۲۵ تاریخ دریافت ۱۳۹۹/۰۷/۲۹

## چکیده

با پیشرفت علم و حصول یافته‌های جدید، به روز رسانی آین نامه‌های طراحی لرزه‌ای اجتناب ناپذیر است و بروز خسارات در ساختمان‌های طراحی شده با نسخه‌های قدیمی در زمین‌لرزه دور از انتظار نیست. بنابراین راهنمایی برای ارزیابی سریع ساختمان‌های موجود توسط سازمان مدیریت پیشنهاد شده است؛ هدف از نشریه ۳۶۴، بررسی آسیب‌پذیری لرزه‌ای ساختمان‌های موجود در زمانی کوتاه و بدون صرف هزینه‌های ارزیابی تفصیلی استکه سال طراحی و ساخت ساختمان و اینکه براساس کدام ویرایش استاندارد ۲۸۰۰ ساخته شده باشد، در این ارزیابی ولی با توجه به اینکه مؤثر استاین در حالی است که استاندارد ۲ زمان تدوین این این نشریه، نسخه ۳ بود و در نشریه مزبور با عبارت «راعیت ویرایش دوم یا بالاتر ۲۸۰۰» بررسی می‌شود. با به روز شدن آین نامه ۲۸۰۰ تحت عنوان ویرایش چهارمیوده، باید امتیاز ارزیابی ساختمان‌های طراحی شده با هر یک از این دو ویرایش با یکدیگر مقایسه شوند. بنابراین در این تحقیق ابتدا سازه فولادی ساختمان‌های ۳، ۵ و ۷ طبقه دارای قاب خمشی متوسط، که از فراوانی زیادی در کشور برخوردارند، براساس نسخه های ۳ و ۴ استاندارد ۲۸۰۰ طراحی و مدلسازی و منحنی شکنندگی آنها محاسبه و مقایسه شد. نتایج نشان داد در عملکرد قابلیت استفاده‌ی بی‌وقفه اختلاف بین دو ویرایش سوم و چهارم بسیار ناچیز است اما در سطح عملکرد اینمنی جانی سازه‌های طراحی شده با ویرایش چهارم استاندارد ۲۸۰۰، البته به جز سازه‌ی ۳ طبقه در زلزله‌های حوزه دور، عملکرد بهتری نسبت به سازه‌های طراحی شده با ویرایش سوم دارند. همچنین مشاهده شد که اختلاف بین دو ویرایش سوم و چهارم آین نامه ۲۸۰۰ در زلزله‌ی طرح بیشتر از زلزله‌ی نادر و در سطح عملکرد فروریزش بیشتر از سطح عملکرد اینمنی جانی است.

واژگان کلیدی: منحنی شکنندگی، تحلیل دینامیکی غیرخطی افزاینده، استاندارد ۲۸۰۰، ارزیابی سریع، سطح عملکرد

## ۱. مقدمه

قاب بتُنی با دیواربرشی انجام دادند. هر دو سازه را با ۲۴۰ شتاب نگاشت مصنوعی تحلیل لرزه‌ای نمودند. نتایج هم به صورت شاخص خسارت در مقابل شدت برای سطوح خسارت متفاوت و هم به صورت ماتریس احتمال خسارت نمایش داده شد [6]. در سال ۲۰۰۹، مطالعه‌ای توسط جوزف کارلو مارانو و همکاران روی منحنی شکنندگی‌های دو نوع سازه بتُنی صورت گرفت. در این پژوهش، منحنی شکنندگی تحلیلی با استفاده از یک روش تحلیلی تصادفی و با استفاده از اطلاعات و داده‌های دستورالعمل HAZUS بدست آمد. نتایج حاصل نشان داد سازه‌های دارای طبقات بیشتر در مقابل تغییرات نوع خاک حساس‌تر هستند [7]. در سال ۲۰۱۰ بهروز عسگریان و همکاران، منحنی‌های شکنندگی سه ساختمان ۵ طبقه و دو ساختمان ۱۰ طبقه با سیستم‌های قاب خمثی فولادی معمولی، متوسط و ویژه را که براساس آینه‌نامه ۲۸۰۰ ایران طراحی شدند، بدست آوردند. نتایج نشان داد، هیچ یک از قاب‌ها در سطح عملکرد قابلیت استفاده بی‌وقفه از مقادیر مجاز تجاوز نکرده است. همچنین با توجه به سطح خطر لرزه‌ای منطقه و ناتوانی اتصالات قاب خمثی معمولی (از نقطه نظر طراحی)، این نوع قاب‌ها در برابر تغییر شکل‌های غیر ارجاعی و دورانی از پایداری لازم در سطح عملکرد آستانه فروریزش برخوردار نیستند [8]. در سال ۲۰۱۸ ملک احمدی و بیرژندي به ارزیابی احتمالاتی ضوابط قاب‌های خمثی فولادی با شکل‌پذیری متوسط و ویژه، که به روش حالت حدی آینه‌نامه ایران (مبحت دهم) طراحی شدند را با قاب‌های طراحی شده به روش تنش مجاز، مقایسه نمودند. نتایج نشان داد که سازه‌های طراحی شده به روش حدی رفتار سخت و تردتری نسبت به روش تنش مجاز دارد. همچنین روش حدی سازه‌های مفروض در هیچ یک از سطوح عملکردی، وضعیت بهتری ندارد و روش تنش مجاز برای سازه‌های مختلف در سطوح عملکرد مختلف منجر به بهبود میانه تابع شکنندگی تا ۱۱٪ شده است [9]. در سال ۲۰۱۷ لیندا آستریانا و همکاران، منحنی‌های شکنندگی را برای دو ساختمان با سیستم سازه‌ای قاب خمثی مقاوم و سیستم دوگانه بدست آوردن. معیار خسارت براساس HAZUS-MH MR5 [10] و ATC-40 [11] قرارداده شد. با مقایسه دو معیار خسارت، نشان

تجربه و دانش بشر از علم زلزله به مراتب کمتر از عمر این پدیده است. در کنار شناخت ماهیت زلزله و چگونگی وارد کردن آن به ساختمان‌ها همواره خود ساختمان و سیستمی که مقاومت لازم در برابر قدرت ارتعاشات را داشته باشد نیز مورد توجه مهندسین سازه بوده است.

امروزه اهداف طراحی لرزه‌ای ساختمان در مسیر تکامل به طراحی براساس عملکرد لرزه‌ای سازه قرار گرفته است. یکی از ابزارهای مورد استفاده در ارزیابی خطرپذیری لرزه‌ای که رواج یافته، منحنی شکنندگی است. رسم و تولید منحنی‌های شکنندگی از سازه‌های تأسیسات هسته‌ای آغاز و در سال ۱۹۸۰ برای نیروگاه‌های هسته‌ای رسم شد [1]. سپس در سال ۱۹۹۳ این منحنی‌ها توسط کرچر و همکارانش برای سایر سازه‌ها توسعه داده شد [2]. بعد از زلزله نورثیریج (۱۹۹۴) توجه بیشتری به تخمین میزان خسارت سازه‌ها معطوف شد و مهندسین توجه بیشتری به پیش‌بینی میزان خسارت مالی سازه‌ها در زلزله‌های شدید نشان دادند. آنگنوس و همکاران در سال ۱۹۹۵ مطالعات بیشتری بر مبنای توزیع بار مندرج در ATC انجام دادند و مدل جدیدی از منحنی شکنندگی را ارائه دادند. در این تحقیق تمامی محاسبات لرزه‌ای بر مبنای ATC-13 انجام شد و این بار، محور افقی مقادیری از مرکالی اصلاح شده بود که حالت علمی‌تری برای تحلیل شکنندگی محسوب می‌شد و تابع توزیع احتمالاتی به صورت نرمال فرض شده بود و ایده‌های مناسبی برای استفاده از رکورد زلزله در این منحنی برای کارهای آینده ارائه داده شد [3]. در سال ۱۹۹۷ سینگهال و کایرمیدی جان، یک روش سیستماتیک برای بدست آوردن منحنی‌های شکنندگی ساختمان‌های قاب خمثی بتُنی را پیشنهاد دادند [4]. در سال ۱۹۹۸ شینوزوکا روشی ارائه نمود که در آن تولید منحنی شکنندگی نسبت به کارهای قبلی از دقت بالایی برخوردار بود. در واقع این دقت بالا مستلزم انجام روشی آماری به عنوان ورودی نرمافزار و استفاده از تکنیک تحلیل دینامیکی غیرخطی بود [5]. در سال ۲۰۰۰ دومووا و جوانسکا تحلیل دینامیکی غیرخطی را برای سازه شماتیک ۶ طبقه قاب بتُنی و ۱۶ طبقه

PGA) بیان نمود. تکرار این عملیات برای مقادیر مختلف  $R$  یا سایر تک پارامترها، منجر به تولید منحنی های نرمال شده ای موسوم به منحنی شکنندگی می شود.

برای نشان دادن احتمال شرطی، تجاوز پاسخ لرزه ای سازه (R) از حالات حدی عملکردی خاصی (ترک خوردنگی، تسلیم، جابه جایی، شکاف، کمانش و فرو ریزش) که به Performance Limit State معروفند و وابسته به پارامتر معرف زمین لرزه ، I است، از معادله (۱) استفاده می شود که توسط کورورا و بارون ارائه شده است [13].

$$\text{Fragility} = P\{R \geq r_{lim} | I\} \quad (1)$$

$R$ : پارامتر پاسخ تغییر شکل، نیرو، سرعت و ...)  
 $r_{lim}$ : حد آستانه پاسخ یا عملکرد سازه که به نوعی نشانگر خسارت آن است  
 $I$ : پارامتر معرف شدت زمین لرزه

#### ۴. معرفی سازه های مورد مطالعه

در این پژوهش از ساختمان های ۳، ۵ و ۷ طبقه در شهر تهران و روی خاک نوع ۳ استفاده شده است. در شکل (۱) ساختمان ۳ طبقه با ارتفاع ۲/۳ متر دارای ۳ دهانه ۵ متری در جهت x با سیستم ساختمانی قاب خمی فولادی متوسط و ۴ دهانه ۵ متری در جهت y با سیستم قاب ساختمانی ساده همراه با مهاربند همگرای معمولی نشان داده شده است. ارتفاع طبقات، طول دهانه ها و نوع سیستم سازه ای برای نمونه های ۵ و ۷ طبقه نیز به همین شکل است. قاب ساختمانی ساده با مهاربند در جهت y، به منظور تعیین یک نماینده مناسب از قاب های خمی ایجاد شده است تا ادامه کار یعنی تحلیل دینامیکی افزاینده در نرم افزار اپنسیس انجام شود. بنابراین از ۴ مهاربند ضربه دار دو دهانه ای کنار هم در قاب های پیرامونی جهت y استفاده شد. هر کدام از ساختمان های فولادی یک بار با نسخه ۳ [14] و یک بار با نسخه ۴ استاندارد ۲۸۰۰ [15] و طراحی شدند. ۳، ۵ و ۷ (۱، ۲ و ۳) سپس تحلیل دینامیکی افزاینده (IDA) با نرم افزار opensees روی قاب های منتخب انجام شد. این سازه ها در ارتفاع و در پلان منظم و در پهنه با خطر نسبی خیلی زیاد هستند. طراحی ساختمان های مورد نظر (بر اساس ویرایش سوم و

دادنک HAZUS نسبت به ATC-40 پیش بینی حساسیتی را با چهار سطح خسارت ارائه می نماید [12].

#### ۲. تحلیل دینامیکی افزاینده (IDA)

یکی از جدیدترین انواع روش های تحلیل سازه، روش تحلیل دینامیکی افزایشی است که در آن از مفهوم دیرینه مقیاس کردن رکوردهای حرکت زمین و توسعه آن به رو شی که بتوان به دقت کل محدوده رفتاری سازه از الاستیک تا ویرانی را پوشش داد، استفاده می شود. در این روش، مدل سازه تحت یک یا چند رکورد حرکت زمین که با سطوح شدت مختلف مقیاس شده اند قرار می گیرد. پس از انجام تحلیل دینامیکی غیرخطی، یک یا چند منحنی از پاسخ سازه در مقابل سطوح شدت مختلف رکورد حاصل خواهد شد. در این منحنی ها کل محدوده رفتاری مدل تحت پوشش قرار می گیرد و در نهایت با تعریف حالات حدی و ترکیب نتایج با منحنی های تحلیل احتمالی به ارزیابی سازه ها پرداخته می شود. در پژوهش حاضر از بیشینه تغییر مکان نسبی طبقات به عنوان معیار اندازه گیری خسارت (DM) و از بیشینه شتاب زمین برای اندازه گیری شدت زلزله (IM) استفاده شده است. مراحل انجام تحلیل (IDA) به صورت زیر است:

- ۱) انتخاب یک روش مناسب برای به مقیاس در آوردن رکوردهای انتخابی.
- ۲) مدل سازی سازه مورد نظر با در نظر گیری رفتار غیرخطی آن.
- ۳) تعریف محدودیت های مربوط به سطوح عملکرد.
- ۴) استفاده از پاسخ ها برای بررسی رفتار سیستم.
- ۵)

#### ۳. منحنی های شکنندگی

به منظور بیان کمی آسیب پذیری اجزای مختلف سازه های و یا غیر سازه ای بر حسب میزان خطر زلزله می توان در مورد هر نوع سازه یا اجزای غیر سازه ای حساس به جابه جایی نسبی و اجزای غیر سازه ای حساس به شتاب، احتمال وقوع یا فرآگذشت از یک میزان خسارت خاص را بر حسب یک ویژگی معرف زلزله مانند بیشینه شتاب، بیشینه جابه جایی، بیشینه سرعت (PGV, PGD)،

## ۵. مدل‌سازی در نرم‌افزار Opensees

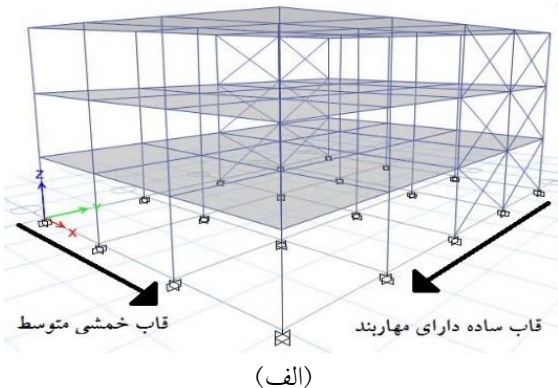
مدل‌سازی قاب‌های منتخب و مفصل پلاستیک متمرکز آنها در نرم افزار opensees انجام گرفت. در این روش، محل از پیش تعیین شده‌ای برای بروز رفتار غیرخطی عضو در نظر گرفته می‌شود. در قاب‌های خمشی، این محل‌ها در انتهای تیرها و ستون‌ها هستند. برای تعریف مفصل، ابتدا در انتهای تیرها و ستون‌ها آزادسازی صورت گرفت که این کار با تعریف یک گره اضافی انجام شد. در مرحله بعد گره‌های آزاد شده به تعداد درجات آزادی که در اینجا سه درجه آزادی بدلیل دو بعدی بودن قاب‌ها است، با فنرها کافی بسته شد. فنری که در درجه آزادی دورانی تعریف می‌شود در واقع هدف اصلی این روش مدل‌سازی است و بیانگر رفتار لنگر-دوران عضو می‌باشد. برای جلوگیری از تغییر شکل‌های نسبی گره‌های آزاد شده در درجات آزادی محوری و برشی فنرهایی با سختی بالا در این درجات آزادی تعریف شدند. سایر قسمت‌های تیر و ستون نیز به صورت الاستیک تعریف شد. برای تعیین مدل رفتاری غیرخطی مفاصل از مدل ایبارا-کراوینکلر که توسط لیگنوس با ایجاد تغییراتی برای تیرهای I شکل و ستون‌های باکس ارائه نمود، استفاده شده است [18]. برای تعریف رفتار ممان-انحنا از مصالح تک محوری از نوع Bilin متناظر با مدل ایبارا-کراوینکلر استفاده شد [19]. همچنین برای مدل‌سازی المان‌های الاستیک از Elastic Beam Column Element with Stiffness Modifiers استفاده شده است [20]. برای درستی آزمایی کهان مشاهده می‌شود. ضمناً برای رفتار غیرخطی‌بیز درستی آزمایی شود.

## ۶. رکوردهای انتخابی

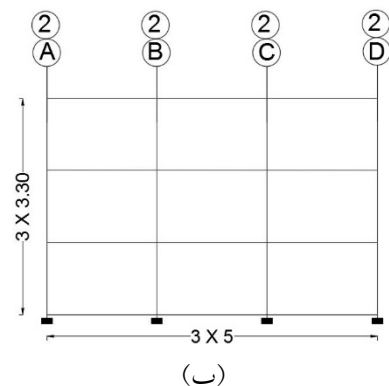
از آنجا که منحنی IDA و به طور کلی پاسخ دینامیکی سیستم وابستگی زیادی به رکورد زلزله دارد بنابر این باید تعدادی رکورد زلزله مناسب انتخاب گردد تا محدوده پاسخ سازه را پوشش دهد. بدین منظور از زلزله‌های معرفی شده در FEMA-P695 استفاده می‌شود [21]. در جدول (۱) مجموعه‌ای از ۲۲ جفت زلزله دور از گسل که بزرگی آنها بین  $7/6$  تا  $7/5$  در مقیاس ریشر و فاصله آنها بیش از ۱۰ کیلومتری گسل است، با ذکر نارائه به علاوه ۱۴ جفت زلزله نزدیک گسل بدون پالس و ۱۴ جفت زلزله نزدیک گسل با

چهارم استاندارد (۲۸۰۰) به ترتیب بر اساس آیین‌نامه طراحی AISC-ASD89 (مطابق مبحث دهم سال ۱۳۸۷) [16] و (۳۶۰-۰۵/LRFD) [17] انجام شد. شکل ۱. ساختمان ۳ طبقه، الف) نمای سه بعدی، ب) قاب خمشی متوسط، ج)

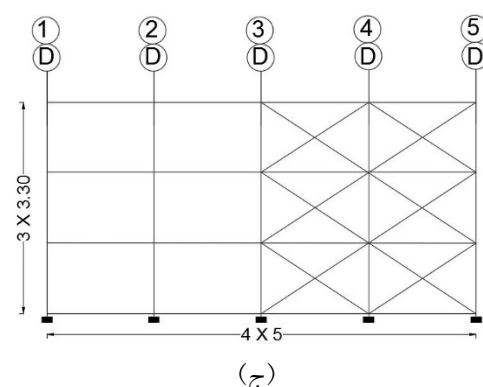
قاب ساده دارای مهاربند



(الف)



(ب)



(ج)

Fig. 1. 3 Story Structure, a) 3D View, b) Intermediate Moment Frame, C) Braced Frame

41	Loma Prieta	6.9	0.51	0.32
42	Erzincan, Turkey	6.7	0.49	0.38
43	Cape Mendocino	7	0.59	0.66
44	Landers	7.3	0.72	0.78
45	Northridge-01	6.7	0.87	0.47
46	Northridge-01	6.7	0.6	0.84
47	Kocaeli, Turkey	7.5	0.23	0.16
48	Chi-Chi, Taiwan	7.6	0.79	0.57
49	Chi-Chi, Taiwan	7.6	0.3	0.17
50	Duzce, Turkey	7.1	0.4	0.51

Table 1. Accelerated Specification

## ۷. ترسیم منحنی‌های شکنندگی

پس از استخراج نمودار IDA برای رکوردهای مفروض، منحنی شکنندگی هر ساختمان بدست آمد. در این تحقیق برای برآورده شدت از PGA (حداکثر شتاب رکورد) استفاده شد. منحنی‌های شکنندگی به صورت تابع توزیع احتمالاتی دو متغیره فرض شده و براساس احتمال تجمعی رخداد، پارامتر تقاضای مهندسی بزرگتر یا مساوی سطح عملکرد مورد نظر بیان می‌شود.

$$P(ds|pga) = \Phi\left[\frac{ds}{\beta_{ds}} \ln\left(\frac{pga}{pga_{ds}}\right)\right] \quad (2)$$

در معادله (2)  $ds$  معرف بیشترین تغییر مکان نسبی طبقات است که به ازای مقادیر مختلف شدت زلزله بدست می‌آید.  $pga$  بیشترین شتاب رکورد،  $pga_{ds}$  مقدار میانگین بیشترین شتاب‌های متناظر با سطح عملکرد مورد نظر،  $\beta_{ds}$  انحراف معیار بیشترین شتاب‌های متناظر با سطح عملکرد مورد نظر و  $\Phi$  تابع توزیع نرمال است. در این تحقیق سطوح عملکردی تعریف شده در آیین‌نامه ASCE 41-06، به عنوان حالات حدی در نظر گرفته شده است [22].

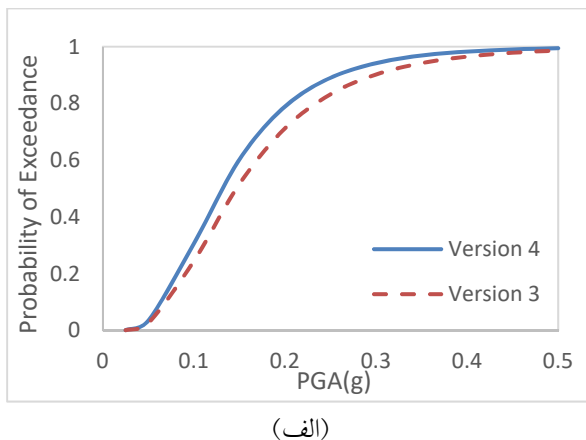
برای ترسیم منحنی شکنندگی، ابتدا سطح عملکرد مورد نظر انتخاب می‌شود. به طور مثال مطابق شکل (2) سطح عملکرد اینمی جانی که دریفت نسبی آن براساس آیین‌نامه ASCE 41-06 ۲/۵٪ برابر Drift=0.025 می‌باشد، انتخاب شده است. سپس خطی به معادله  $ds = 0.025 \cdot pga$  از روی منحنی‌های IDA قطع داده می‌شود تا جداکثر شتاب متناظر با این دریفت نسبی برای هر رکورد استخراج گردید. بیشترین تحلیل شوند بیشتری نشوند

پالس نیز آورده شده است. در این مطالعه هر سازه ۱۰۰ بار تحت تحلیل دینامیکی افزاینده قرار می‌گیرد (۵۰ رکورد هر یک دارای دو مؤلفه). (برای هر یک از مؤلفه‌های افقی ۵۰ زوج شتابگاشت مذکور تحلیل دینامیکی فراینده انجام شده است) با افزایش PGA معمولاً شاهد افزایش پاسخ یا همان بیشینه تغییر مکان نسبی طبقات هستیم. لازم به ذکر است، بیشترین حاصل از تحلیل ملاک عمل قرار می‌گیرد. تحلیل حداکثر تغییر مکان نسبی در تمام طبقات برای رسم منحنی IDA رکورد می‌شود.

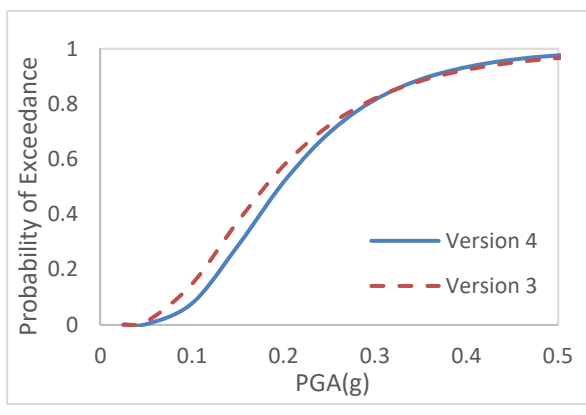
جدول ۱. مشخصات شتاب‌نگاشت‌ها

Item	Incident	Magnitude (M)	PGA	
			T1	T2
<b>Far-Field</b>				
1	Northridge	6.7	0.41	0.51
2	Northridge	6.7	0.41	0.48
3	Duzce, Turkey	7.1	0.72	0.82
4	Hector Mine	7.1	0.26	0.33
5	Imperial Valley	6.5	0.23	0.35
6	Imperial Valley	6.5	0.36	0.37
7	Kobe, Japan	6.9	0.51	0.5
8	Kobe, Japan	6.9	0.24	0.21
9	Kocaeli, Turkey	7.9	0.31	0.35
10	Kocaeli, Turkey	7.5	0.21	0.14
11	Landers	7.3	0.24	0.15
12	Landers	7.3	0.28	0.41
13	Loma Prieta	6.9	0.52	0.44
14	Loma Prieta	6.9	0.55	0.36
15	Manjil, Iran	7.4	0.49	0.51
16	Superstation Hills	6.5	0.35	0.25
17	Superstation Hills	6.5	0.44	0.3
18	Cape Mendocino	7	0.38	0.54
19	Chi-Chi, Taiwan	7.6	0.44	0.35
20	Chi-Chi, Taiwan	7.6	0.51	0.47
21	San Fernando	6.6	0.21	0.17
22	Friuli, Italy	6.5	0.35	0.31
<b>Near-Field with pulse</b>				
23	Gazli, USSR	6.8	0.7	0.86
24	Imperial Valley-06	6.5	0.59	0.77
25	Imperial Valley-06	6.5	0.27	0.25
26	Nahanni, Canada	6.8	1.1	1.2
27	Nahanni, Canada	6.8	0.51	0.35
28	Loma Prieta	6.9	0.45	0.5
29	Loma Prieta	6.9	0.64	0.48
30	Cape Mendocino	7	1.49	1.03
31	Northridge-01	6.7	0.75	0.93
32	Northridge-01	6.7	0.34	0.46
33	Kocaeli, Turkey	7.5	0.22	0.32
34	Chi-Chi, Taiwan	7.6	0.49	0.32
35	Chi-Chi, Taiwan	7.6	1	0.43
36	Denali, Alaska	7.9	0.33	0.29
<b>Near-Field without pulse</b>				
37	Imperial Valley-06	6.5	0.44	0.44
38	Imperial Valley-06	6.5	0.34	0.47
39	Irpinia, Italy-01	6.9	0.22	0.32
40	Superstation Hills-02	6.5	0.43	0.38

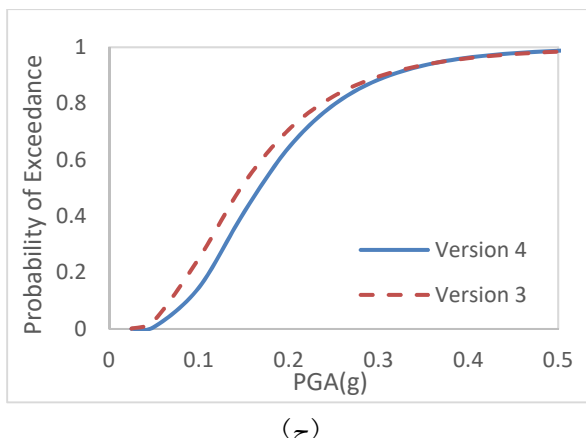
شکل ۴. مقایسه منحنی شکنندگی ساختمان ها در سطح عملکرد IO برای رکوردهای حوزه نزدیک، (الف) ۳ طبقه، (ب) ۵ طبقه، (ج) ۷ طبقه



(الف)



(ب)



(ج)

Fig. 4. Comparing fragility curve for structures at the level of the IO performance under Near-Field records, a) 3 Story, b) 5 Story, c) 7 Story

شکل ۲. منحنی های تحلیل دینامیکی افزاینده

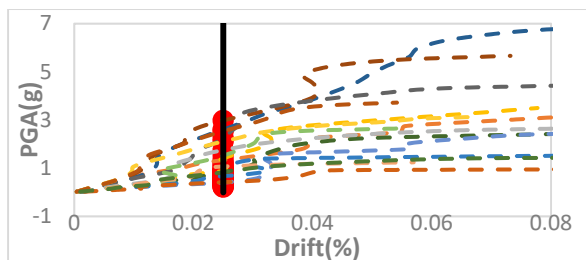
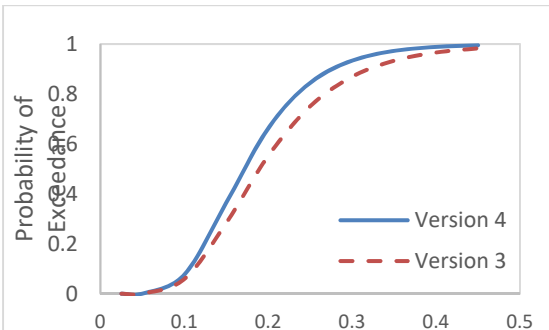
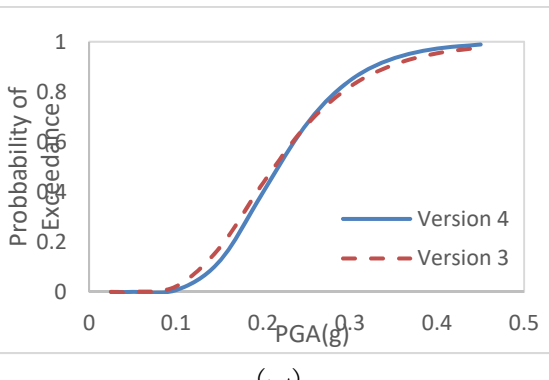


Fig. 2. IDA Curves

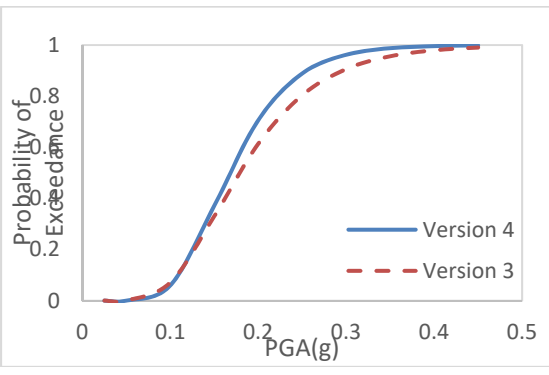
شکل ۳. مقایسه منحنی شکنندگی ساختمان ها در سطح عملکرد IO برای رکوردهای حوزه دور، (الف) ۳ طبقه، (ب) ۵ طبقه، (ج) ۷ طبقه



(الف)



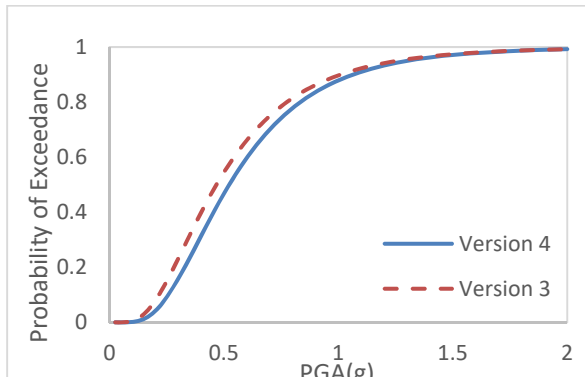
(ب)



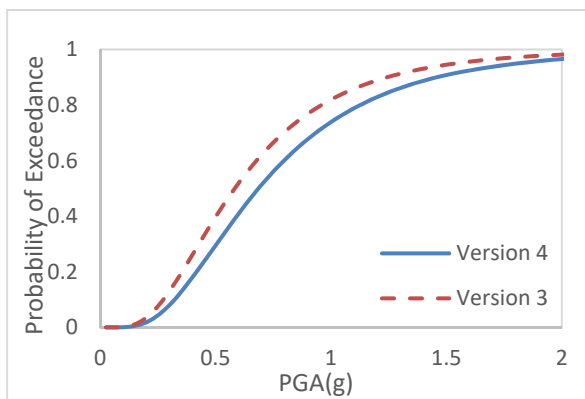
(ج)

Fig. 3. Comparing fragility curve for structures at the level of the IO performance under Far-Field records, a) 3 Story, b) 5 Story, c) 7 Story

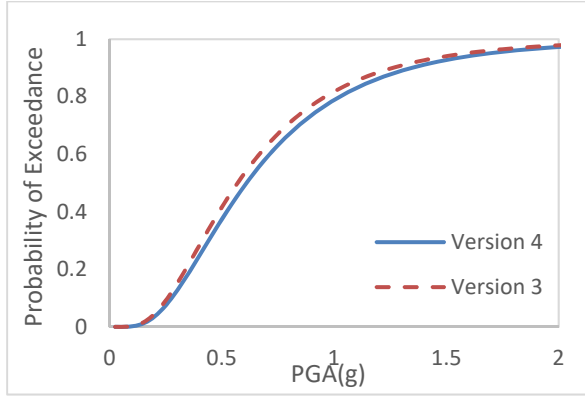
شکل ۶. مقایسه منحنی شکنندگی ساختمان‌ها در سطح عملکرد LS برای رکوردهای حوزه نزدیک، (الف) ۳ طبقه، (ب) ۵ طبقه، (ج) ۷ طبقه



(الف)



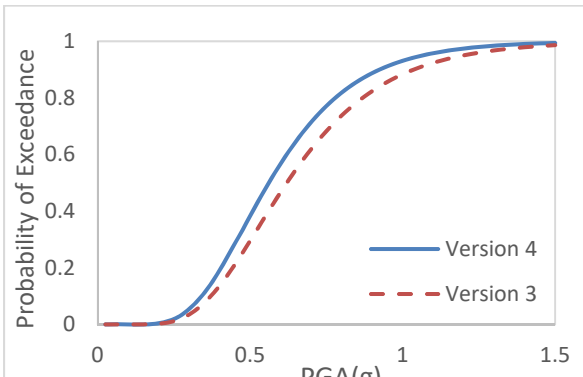
(ب)



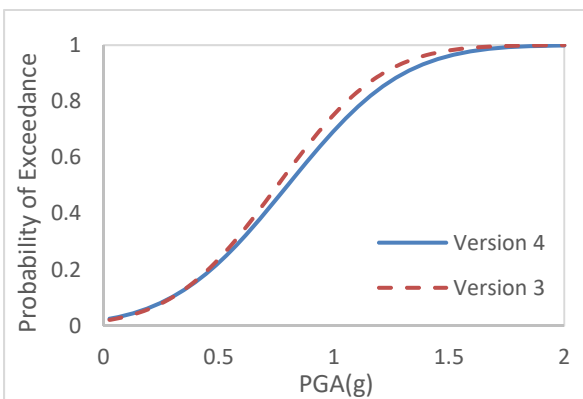
(ج)

Fig. 6. Comparing fragility curve for structures at the level of the LS performance under Near-Field records, a) 3 Story, b) 5 Story, c) 7 Story

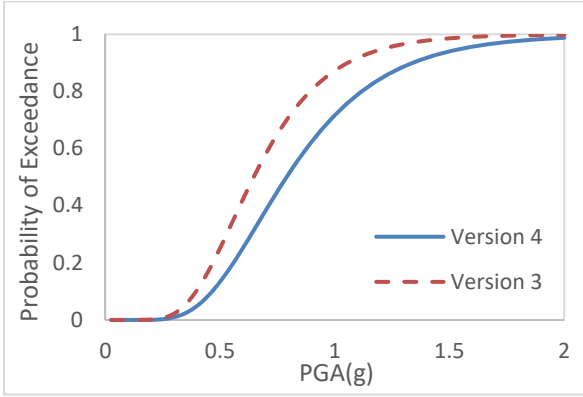
شکل ۵. مقایسه منحنی شکنندگی ساختمان‌ها در سطح عملکرد LS برای رکوردهای حوزه دور، (الف) ۳ طبقه، (ب) ۵ طبقه، (ج) ۷ طبقه



(الف)



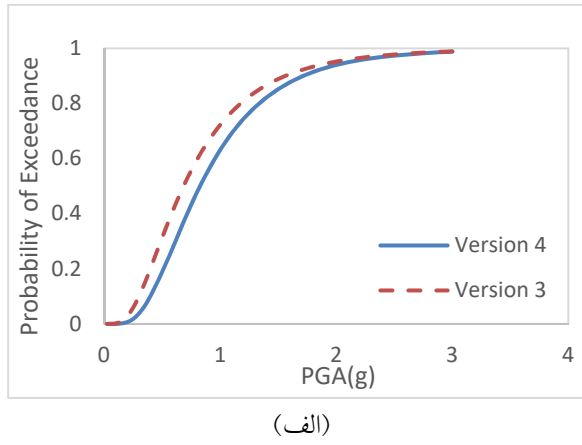
(ب)



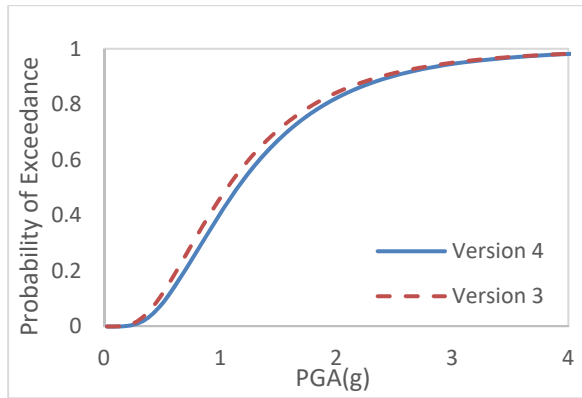
(ج)

Fig. 5. Comparing fragility curve for structures at the level of the LS performance under Far-Field records, a) 3 Story, b) 5 Story, c) 7 Story

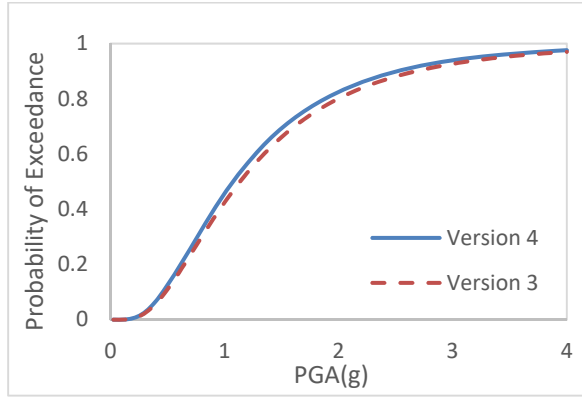
شکل ۸ مقایسه منحنی شکنندگی ساختمان‌ها در سطح عملکرد CP برای رکوردهای حوزه نزدیک، (الف) ۳ طبقه، (ب) ۵ طبقه، (ج) ۷ طبقه



(الف)



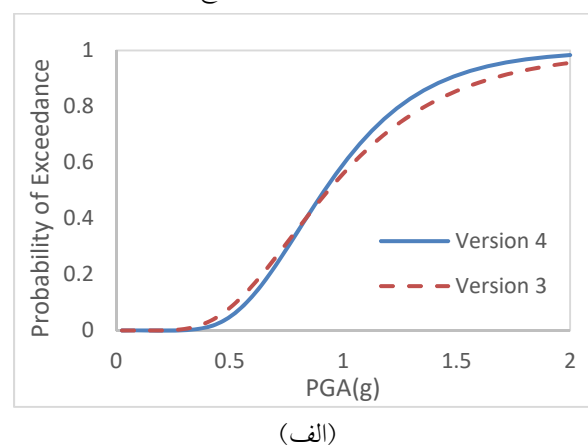
(ب)



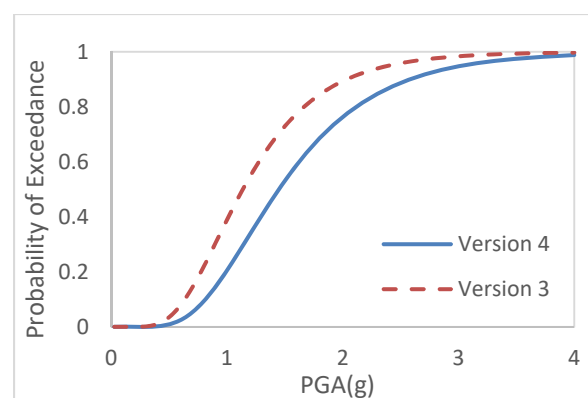
(ج)

Fig. 8. Comparing fragility curve for structures at the level of the CP performance under Near-Field records, a) 3 Story, b) 5 Story, c) 7 Story

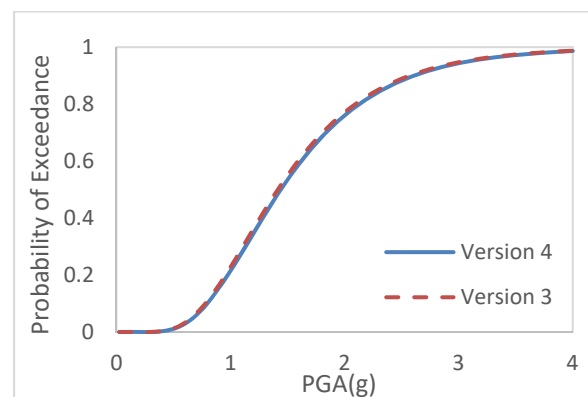
شکل ۷. مقایسه منحنی شکنندگی ساختمان‌ها در سطح عملکرد CP برای رکوردهای حوزه دور، (الف) ۳ طبقه، (ب) ۵ طبقه، (ج) ۷ طبقه



(الف)



(ب)



(ج)

Fig. 7. Comparing fragility curve for structures at the level of the CP performance under Far-Field records, a) 3 Story, b) 5 Story, c) 7 Story

طراحی شده براساس نسخه ۴ استاندارد ۲۸۰۰ نسبت به ساختمان‌های مشابه طراحی شده براساس نسخه ۳، تحت زلزله‌های حوزه دور به ترتیب ۱/۲۹، ۰/۹۴ و ۰/۵۳ است. این نسبت برای زلزله‌های حوزه نزدیک ۰/۸۵، ۰/۷۴ و ۰/۸۹ بدست آمده است و در مجموع با احتساب همه زلزله‌ها در قالب یک مجموعه این نسبت‌ها برابر ۱/۰۷، ۰/۸۴ و ۰/۷۱ حاصل شده است.

طبق شکل (۷) در سطح عملکرد CP برای شتاب حداقل ۰/۳۵g، احتمال فرآگذشت ساختمان‌های ۳، ۵ و ۷ طبقه طراحی شده براساس نسخه ۴ استاندارد ۲۸۰۰ نسبت به ساختمان‌های مشابه طراحی شده براساس نسخه ۳، تحت زلزله‌های حوزه دور به ترتیب ۰/۰۳، ۰/۱۷ و ۰/۸۲ می‌باشد.

این نسبت برای زلزله‌های حوزه نزدیک مطابق شکل (۸) ۰/۴۴، ۰/۰۵۸ و ۱/۱۵ بدست آمده است و در مجموع با احتساب همه زلزله‌ها در قالب یک مجموعه این نسبت‌ها برابر ۰/۳۷، ۰/۹۸ و ۰/۵g حاصل شده است. در این سطح عملکرد برای شتاب حداقل ۰/۵g، احتمال فرآگذشت ساختمان‌های ۳، ۵ و ۷ طبقه طراحی شده براساس نسخه ۴ استاندارد ۲۸۰۰ نسبت به ساختمان‌های مشابه طراحی شده براساس نسخه ۳، تحت زلزله‌های حوزه دور و به ترتیب ۰/۶، ۰/۲۵ و ۰/۸۶ است. این نسبت برای زلزله‌های حوزه نزدیک ۰/۶، ۰/۷۹ و ۱/۱۲ بدست آمده است و در مجموع با احتساب همه زلزله‌ها در قالب یک مجموعه این نسبت‌ها برابر ۰/۴۷، ۰/۴۷ و ۱ حاصل شده است. کلیه نتایج حاصل که در بالا بر اساس شکل‌های (۳) تا (۸) گفته شد، برای عملکردهای IO، LS و CP به ترتیب در جدول‌های ۲، ۳، ۴ خلاصه شده است.

جدول ۲. نسبت احتمال فرآگذشت سطح عملکرد IO ویرایش چهارم سازه‌ها به ویرایش سوم آنها

All Records		Near-Field		Far-Field		Story
0.5g	0.35g	0.5g	0.35g	0.5g	0.35g	
1	1.03	1	1.03	1	1.04	3
1	1.01	1	1	1	1.03	5
1	1.01	1	1	1	1.03	7
1	1.02	1	1.01	1	1.03	Average

Table 2. Ratio of exceedance at the level of the IO performance at the Fourth Edition than Third the Edition

از آنجا که نسبت بیشترین شتاب زلزله با دوره بازگشت ۲۴۷۵ ساله نسبت به زلزله با دوره بازگشت ۴۷۵ ساله در بسیاری از محل‌ها برابر ۱/۵ است [24]. در این تحقیق علاوه بر اینکه زلزله با بیشترین شتاب ۰/۳۵g بررسی شده، زلزله قویتر (متناظر با زلزله ۲۴۷۵ ساله) با بیشترین شتاب ۰/۵g نیز مورد مطالعه قرار گرفته است که تحقیق زلزله نادر نامگذاری شده است. نتیجه مقایسه منحنی شکنندگی سازه‌های تحت بررسی براساس آینین‌نامه ۲۸۰۰ ویرایش سوم و چهارم به صورت زیر است: طبق شکل (۳) احتمال فرآگذشت ساختمان‌های طراحی شده براساس نسخه ۴ استاندارد ۲۸۰۰ از سطح عملکرد IO در زلزله‌های با حداقل شتاب ۰/۳۵g، با ساختمان‌های مشابه طراحی شده براساس نسخه ۳ یکسان و نسبت آن برای ساختمان‌های ۳، ۵ و ۷ طبقه به ترتیب برابر ۱/۰۴ و ۱/۰۳ است.

این نسبت برای زلزله‌های حوزه نزدیک مطابق شکل (۴) ۱/۰۳، ۱ و ۱ بدست آمده است و در مجموع با احتساب همه زلزله‌ها در قالب یک مجموعه این نسبت‌ها برابر ۱/۰۳، ۱/۰۱ و ۱/۰۱ حاصل شده است. در این سطح عملکرد برای شتاب حداقل ۰/۵g، احتمال فرآگذشت ساختمان‌های ۳، ۵ و ۷ طبقه طراحی شده براساس نسخه ۴ استاندارد ۲۸۰۰ نسبت به ساختمان‌های مشابه طراحی شده براساس نسخه ۳، تحت زلزله‌های حوزه دور به ترتیب ۱، ۱ و ۱ است. این نسبت برای زلزله‌های حوزه نزدیک مشابه با حوزه دور بوده، در نتیجه با احتساب همه زلزله‌ها در قالب یک مجموعه این نیز به همان صورت حاصل می‌شود. بیشترین‌ناست طبق شکل (۵) در سطح عملکرد LS برای شتاب حداقل ۰/۳۵g، احتمال فرآگذشت ساختمان‌های ۳، ۵ و ۷ طبقه طراحی شده براساس نسخه ۴ استاندارد ۲۸۰۰ نسبت به ساختمان‌های مشابه طراحی شده براساس نسخه ۳، تحت زلزله‌های حوزه دور به ترتیب ۱/۴۶، ۱ و ۰/۴۴ می‌باشد.

این نسبت برای زلزله‌های حوزه نزدیک مطابق شکل (۶) ۰/۷۴، ۰/۶۵ و ۰/۸۵ بدست آمده است و در مجموع با احتساب همه زلزله‌ها در قالب یک مجموعه این نسبت‌ها برابر ۰/۸۲، ۱/۱ و ۰/۶۴ حاصل شده است. در این سطح عملکرد برای شتاب حداقل ۰/۵g، احتمال فرآگذشت ساختمان‌های ۳، ۵ و ۷ طبقه

- در سطح عملکرد IO برای هر سه سازه ۳، ۵، ۷ طبقه در شتاب‌های حداکثر  $0.35g$  و  $0.5g$ ، اختلاف بین دو نسخه سوم و چهارم آینه نامه ۲۸۰۰ بسیار ناچیز است و ساختمان‌ها عملکرد مشابهی دارند.
- در سطح عملکرد LS تمام سازه‌های طراحی شده با ویرایش چهارم استاندارد ۲۸۰۰ به جز سازه ۳ طبقه در زلزله‌های حوزه دور، عملکرد بهتری نسبت به ویرایش سوم از خود نشان می‌دهند. در این سطح عملکرد، میانگین نسبت احتمال فراگذشت سطح عملکرد مورد نظر برای سازه‌های ویرایش چهارم به ویرایش سوم، در شتاب حداکثر  $0.35g$  حوزه‌های دور و نزدیک به ترتیب برابر  $0.96$  و  $0.75$  و در شتاب حداکثر  $0.5g$  حوزه‌های دور و نزدیک به ترتیب برابر  $0.92$  و  $0.83$  است. هر چند که نسخه ۴ برای ساختمان‌ها بلند مفیدتر بوده و اینمی‌آن را بیشتر تأمین می‌کند، می‌توان ضربی اصلاحی مربوط به سازه‌های قاب خمی فولادی طراحی شده توسط ویرایش سوم استاندارد ۲۸۰۰ برای انجام ارزیابی سریع را برای شتاب حداکثر  $0.35g$  عدد  $0.85$  برای شتاب حداکثر  $0.5g$  عدد  $0.87$  در نظر گرفت.
- در سطح عملکرد CP تمام سازه‌های طراحی شده با ویرایش چهارم استاندارد ۲۸۰۰، به جز سازه ۷ طبقه در زلزله‌های حوزه نزدیک، عملکرد بهتری نسبت به ویرایش سوم از خود نشان می‌دهند.
- اختلاف بین دو ویرایش سوم و چهارم استاندارد ۲۸۰۰ در سطح عملکرد CP بیشتر از اختلاف آن‌ها در سطح عملکرد LS است (میانگین نسبت احتمال فراگذشت ویرایش چهارم سازه‌ها به ویرایش سوم آن‌ها در شتاب حداکثر  $0.35g$  به عدد  $0.57$  و در شتاب حداکثر  $0.5g$  به عدد  $0.69$  می‌رسد). این اختلاف نشان دهنده عملکرد بهتر ساختمان‌های طراحی شده براساس ویرایش چهارم در سطح عملکرد CP نسبت به سطح عملکرد LS می‌باشد.
- اختلاف بین دو ویرایش سوم و چهارم آینه نامه ۲۸۰۰ در شتاب حداکثر  $0.35g$  بیشتر از شتاب حداکثر  $0.5g$  است.

جدول ۳. نسبت احتمال فراگذشت سطح عملکرد LS ویرایش چهارم سازه‌ها به ویرایش سوم آنها Edition

All Records		Near-Field		Far-Field		Story
0.5g	0.35g	0.5g	0.35g	0.5g	0.35g	
1.07	1.1	0.85	0.74	1.29	1.46	3
0.84	0.82	0.74	0.65	0.94	1	5
0.71	0.64	0.89	0.85	0.53	0.44	7
0.87	0.85	0.83	0.75	0.92	0.96	Average

Table 3. Ratio of exceedance at the level of the LS performance at the Fourth Edition than the Third

جدول ۴. نسبت احتمال فراگذشت سطح عملکرد CP ویرایش چهارم سازه‌ها به ویرایش سوم آنها

All Records		Near-Field		Far-Field		Story
0.5g	0.35g	0.5g	0.35g	0.5g	0.35g	
0.6	0.37	0.6	0.44	0.6	0.3	3
0.47	0.37	0.69	0.58	0.25	0.17	5
1	0.98	1.12	1.15	0.86	0.82	7
0.69	0.57	0.81	0.72	0.57	0.43	Average

Table 4. Ratio of exceedance at the level of the CP performance at the Fourth Edition than the Third Edition

باتوجه به جدول (۲) تفاوت عملکرد نسخه سوم و چهارم آینه نامه ۲۸۰۰ ساختمان‌ها، در سطح قابلیت استفاده‌ی بی‌وقفه، ناچیز برآورده می‌شود. در حالی که براساس جدول (۳ و ۴)، نسخه چهارم استاندارد ۲۸۰۰ اینمی‌بیشتری را برای ساختمان‌ها تأمین می‌کند به گونه‌ای که برای زلزله‌های با دوره بازگشت ۴۷۵ و ۲۴۷۵ سال، میانگین نسبت احتمال فراگذشت از سطح عملکرد LS به ترتیب  $15\%$  و  $13\%$  و از سطح عملکرد CP به ترتیب  $43\%$  و  $31\%$  احتمال فراگذشت کمتری را خواهد داشت.

## ۸. خلاصه و نتیجه‌گیری

به منظور مقایسه دو ویرایش سوم و چهارم آینه نامه ۲۸۰۰ در این تحقیق از ساختمان‌های ۳، ۵ و ۷ طبقه با سیستم قاب خمی فولادی متوسط استفاده شد. در این مطالعه هر سازه ۱۰۰ بار تحت تحلیل دینامیکی افزاینده در نرم افزار Opensees قرار گرفت. به عبارتی تحت ۲۲ جفت زلزله دور از گسل با بزرگی بین  $7/6$  تا  $6/5$  در مقیاس ریشتر و با فاصله‌ی بیش از  $10$  کیلومتری گسل، به علاوه  $14$  جفت زلزله نزدیک گسل بدون پالس و  $14$  جفت زلزله نزدیک گسل با پالس تحلیل شد. نتایج بدست آمده نشان می‌دهد:

## ۹. مراجع

- Frame-shear Wall System Using Seismic Fragility Curve. *Procedia Engineering*, 171(Supplement C), 1069–1076
- [13] Barron-Covera, Raul 1999, "Spectral Evaluation of Seismic Fragility of Structures", *Ph.D.dissertation, Faculty of the Graduate School of the State University of New York at Buffalo*.
- [14] Building And Housing Research Center, "Iranian Code of Practice For Seismic Resistant Design Of Buildings", *Standard No.2800(3rd Edition)*, 2004 (In Persian)
- [15] Building And Housing Research Center, "Iranian Code of Practice For Seismic Resistant Design Of Buildings", *Standard No.2800(4rd Edition)*, 2014 (In Persian)
- [16] Office for the codification and promotion of National Building Regulations, "Designing and implementing steel buildings, Tehran, Iran, 2008 (In Persian)
- [17] Office for the codification and promotion of National Building Regulations, "Designing and implementing steel buildings, Tehran, Iran, 2013 (In Persian)
- [18] Lignos, D. G., & Krawinkler, H. 2010. Deterioration modeling of steel components in support of collapse prediction of steel moment frames under earthquake loading. *Journal of Structural Engineering*, 137(11), 1291-1302.
- [19] Ibarra, L. F., and Krawinkler, H. 2005. "Global collapse of frame structures under seismic excitations," *Technical Report 152, The John A. Blume Earthquake Engineering Research Center, Department of Civil Engineering, Stanford University, Stanford, CA*.
- [20] OpenSees 2010. "Open System for Earthquake Engineering Simulation". *Pacific Earthquake Engineering Research Center (PEER)*, (<http://opensees.berkeley.edu>).
- [21] FEMA P 695. 2009. Quantification of Building Seismic Performance Factors. *Washington, D.C. Federal Emergency Management Agency, USA*.
- [22] ASCE 41-06, 2006, Seismic Rehabilitation of Existing Buildings, *American Society of Civil Engineers, Reston, Virginia.*, MSc Thesis, Azad University, West Branch  
Department of technical affairs, Management and planning organization, "Instruction for seismic rehabilitation of existing buildings", Code 360, Office of deputy for supervision, 2015 (In Persian).
- [1] Kennedy, R.P.; Cornell, A.C.; Campbell, R.D.; Kaplan, S. and Perla, H.F. 1980. "Probabilistic seismic safety study of an existing nuclear power plant", *Nuclear Eng. & Design*, 59(2).
- [2] Kircher , C.A. and Martin W. 1993. Development of fragility Curve for Estimating of Earthquake Damage Work Shopon Continuing Action to Reduce losses from Earthquake, *Washington, Dc: U.S.Geological Survey*.
- [3] Anagnos, T., Rojahn, C., & Kiremidjian, A. 1995. NCEER-ATC joint study on fragility of buildings. ATC-13.(1985-86). "Earthquake damage evaluation data California", *Federal Emergency Management Agency, Washington D.C., USA*.
- [4] Singhal Ajay, & Kiremidjian Anne S. 1998. Bayesian Updating of Fragilities with Application to RC Frames. *Journal of Structural Engineering*, 124(8), 922–929.
- [5] Shinozuka, M. 1998. "Statistical Analysis of Bridge Fragility Curve", *proceeding of the Workshop on effective Systems for Bridge, New York, NY*
- [6] E. Dumova-Jovanoska.. 2000. Fragility curves for reinforced concrete structures in Scopje region. *Soil Dynamics and Earthquake Engineering* 19(6), 455-466.
- [7] Marano, G. C., Greco, R., & Morrone, E. 2011. Analytical evaluation of essential facilities fragility curves by using a stochastic approach. *Engineering Structures*, 33(1), 191-201.
- [8] Asgarian, B., Sadrinezhad, A., & Alanjari, P. 2010. Seismic performance evaluation of steel moment resisting frames through incremental dynamic analysis. *Journal of Constructional Steel Research*, 66(2), 178–190.
- [9] Malekahmadi F., Birzhandi M. S. 2018. Probabilistic Assessment of ASD and LRFD code criteria for steel moment frames under the near-fault events using incremental dynamic analysis (IDA). *Modares Civil Engineering Journal (M.C.E.J)*, Vol.18, No.2, (In Persian).
- [10] Federal Emergency Management Agency (FEMA). HAZUS-MH MR5, technical and user's manual, Federal Emergency Management Agency, Washington, DC (2010).
- [11] ATC-40. Seismic Evaluation and Retrofit of Concrete Buildings. Redwood City, California (1996).
- [12] Astriana, L., Sangadjji, S., Purwanto, E., & Kristiawan, S. A. 2017. Assessing Seismic Performance of Moment Resisting Frame and

# Comparing Versions 3 and 4 of Standard 2800, Regarding Fragility Curves of Intermediate Moment Frame Buildings

M.Mohammadi<sup>1</sup>, F.Alizadeh<sup>2</sup>

1. Associate professor, International institute of Earthquake Engineering and seismology, Tehran, Iran.
2. MSc., Department of civil engineering, West Tehran branch, Islamic Azad University, Tehran, Iran.

## Abstract

Nowadays, performance evaluation of buildings against earthquakes is one of the common debates among researchers. Old buildings designed on the basis of previous versions of seismic codes are exposed to more damages in earthquakes. To evaluate vulnerability of existing buildings for earthquakes, Instruction on Rapid Earthquake Evaluation of the Existing Buildings (Code No. 364) has been proposed. By this code, a building can be rapidly evaluated by easily available data such as structural type, designing and construction date, appearance, etc., with very low cost. One of important parameters for such evaluation is the version of the seismic code (Standard 2800) which had been applied in the designing process of inspected building; later version has greater score. However, the rapid evaluation code (Code No. 364) has been prepared before releasing version 4 of Standard-2800 and therefore do not have the score of designing with this version. Therefore, this paper is focused on comparing version-3 and vetsion-4 of Standard 2800 in designing buildings. For this, three buildings, having 3, 5 or 7 story, with regular plane is considered. Each is designed twice, based on the version-3 and vetsion-4 and then their fragility curves are calculated. The obtained fragility curves are compared in two levels of earthquakes having return period of 475 years and 2475 years (PGA of these earthquakes are assumed as 0.35g and 0.5g, respectively). To achieve the fragility curves, 50 earthquake records, recommended by FEMA-P695, are considered. They include 22 far field ones, 14 near field ones having pulse and 14 near field records without pulse. To consider nonlinear behavior of the structural elements, concentrated plasticity is assumed at two ends of each element by Opensees software. Properties of the plastic hinges are introduced in the software based on Lignos model. The obtained results show that in IO performance level, there is no meaningful difference between the structures designed on the basis of version 3 and version 4 of Standard-2800. However, in Life Safety (LS) and Collapse Prevention (CP) performance levels, version 4 leads to much better structure. Furthermore, the difference between these two versions of standard is greater for 475 year earthquakes, in comparison with 2475 year earthquakes, and also for LS rather than CP performance level.

**Keywords:** Fragility Curve, Incremental Dynamic Analysis, Standard 2800, Rapid Evaluation, Performance level.